

金沢工業大学 正会員 ○前川晴義
金沢工業大学 正会員 宮北啓
(株)日研技術 正会員 小川義厚

1. まえがき 固結性を有する准積性軟岩は大気作用である乾湿繰返し条件を受けることにより、固結力の消失が主因と考えられる強度低下を起こす。これは法面など露出する箇所で特に重要な問題となるが、内部的なメカニズムは非常に複雑である。著者らは乾湿繰返しに伴う強度、変形特性を工学的見地から解明するために固結性が高く、未風化状態を満足する珪藻質軟岩を対象に基礎的実験を行っている。今回は既に報告している乾湿繰返し条件をえた場合の一軸圧縮試験の結果¹⁾を基に、同条件に伴う強度の移行性について一考察する。また一連の乾湿繰返し過程の内ご、乾燥度合が強度変化に大きな影響を及ぼすことを明確にしておきたいが、これまでのようないく一定乾燥の繰返しがはるく、より現状に適応するものとして種々の乾燥履歴をえた場合についても新たに検討を加えた。

2. 供試体および実験方法 実験に用いた試料は石川県珠洲市内より堆積方向に留意して採取したもののが未風化、不かく乱、飽和条件を満たしている。供試体はコアーカッター（直徑5cm）で抜取り、高さ約10cmに整形した。供試体の物理的諸性質は表-1に示している。供試体は一定の乾燥、湿润を繰返した後、あるいは表-2のようないくらべる乾燥、湿润を繰返した後、圧縮速度0.3%/minで一軸圧縮試験を行った。なお供試体の管理方法として、乾燥は恒温恒湿室で自然乾燥させるが乾燥度合は含水比Wで決定するため、個々の供試体の乾燥度合に基に供試体質量からWを算出（体積変化は無視）、所定のW（±0.5%）に達した後は含水比の均一化を計るために密閉した容器内に2週間以上放置した。湿润過程では急激な吸水をさせると破裂が起こすため、約20cc/dayを霧吹きで与え十分に湿润した後、2週間以上水浸させた。また各過程終了後の供試体高さHは基準高さ（鋼板）をベースにダイヤルゲージで供試体の円周上在8箇所計測し、次式より供試体高さ変化率Sを算出した。

$$S = 100 \times (H_0 - H') / H_0 \quad H_0: 初期高さ$$

3. 実験結果および考察 図-1は192供試体を一定の乾燥（千穂…シリーズと呼ぶ）、湿润を繰返し与え各過程後（乾燥時はDステップ、湿润時はWステップと呼ぶ）の一軸圧縮強度 σ_u と繰返し回数Nとの関係を示している。WステップのNとシリーズに注目すると、25%シリーズではN=1で初期強度の約1/2に低下するなど乾燥度合の影響を顕著に反映した結果となっている。75, 50, 25%シリーズはN=3以降に強度変化が認められないが、乾燥度合の小さく100%シリーズではNの増加に伴ない逐次低下の傾向を示し、75%シリーズに漸近する。

表-1 供試体の物理的諸性質

比重Gs	2.22
含水比W(%)	119.1(116.5)
湿潤密度 ρ_w (kg/m³)	1.34 (1.34)
乾燥密度 ρ_d (kg/m³)	0.61 (0.62)
間隙率n(%)	72.6 (72.1)

()内は乾燥履歴の場合

表-2 乾湿繰返し状況(乾燥履歴)

初期	1	2	3	4
A	W	75	W	50
	W	75	W	75
	W	50	W	75
B	W	75	W	25
	W	75	W	75
	W	25	W	75
C	W	75	W	75
	W	50	W	75
	W	25	W	75
D	W	75	W	25
	W	75	W	75
	W	25	W	75
E	W	75	W	75
	W	75	W	75
	W	25	W	75
F	W	75	W	75
	W	25	W	75
	W	25	W	75
G	W	100	W	75
	W	75	W	50
	W	25	W	25
H	W	75	W	50
	W	75	W	25
	W	25	W	100
I	W	50	W	100
	W	25	W	75
	W	25	W	75
J	W	25	W	100
	W	100	W	75
	W	75	W	75

注) W: 濡潤(水浸), 間隙: 乾燥(含水比)

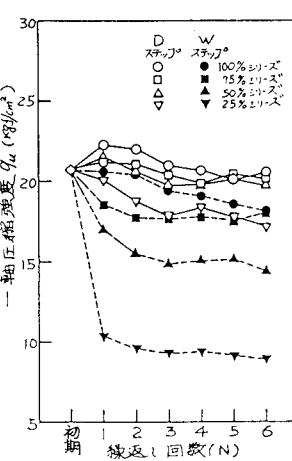
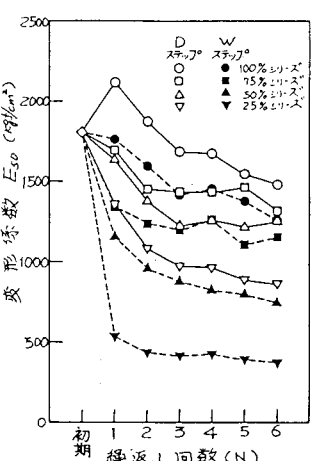
図-1 σ_u ～N (一定乾燥)図-2 E_u ～N (一定乾燥)

図-2は変形係数 E_{50} ～Nについて与えているが q_u の結果と同様に乾燥度合の影響が著しい。以上の結果を相互的に検討するためSを導入し、対比したのが図-3、4である。図中にはWステップのN=1, 2, 4, 6をプロットしているが特に25, 50%シリーズでは破壊点示すようにNの増加に伴なうS～ q_u , E_{50} の間には直線関係が成立する。 $N=1$ に注目すると、各シリーズに対する動向が定まらず全体を整理する明瞭な関係を示していないが、その他のNの増加に伴なう q_u , E_{50} は独自の傾向を現める。すなわち q_u は q_u 軸の初期値を経る直線に移行する。一方、 E_{50} は各シリーズの影響がユニークに反映し、N=6では初期値を通る曲線に漸近する。なおこの曲線はS～ $\log E_{50}$ で整理するとほぼ直線関係を示す。つまりN=6以上では乾燥度合に関係なく全体的な傾向として q_u , E_{50} は共に初期値を軸とみなめら算術、対数表示での傾きを変えながら進行するものと考えられる。

次に表-2で示した乾燥、湿润を繰返し与えた場合の結果について述べる。ここでは一連の乾燥履歴内の乾燥度合の最も大きいものの（最大乾燥と呼ぶ）の影響を明らかにするためA～Jの10種（40供試体）の条件を与えた。各(I)は50%, (II)および(III)は25%の最大乾燥を与けている。図-5はSとの関係を整理したものであるが、図からも明確なように(I), (II)では乾燥履歴に関係なく、最終的にはSの値はほぼ一定となり、最大乾燥に依存した結果を与えている。また最大乾燥が同一で、乾燥履歴およびNが異なる(II)と(III)を対比した場合、Sの値に目立った相違が認められず、あくまで最大乾燥の影響を強調している。表-3は q_u , E_{50} の結果を与えているが、ここでも乾燥履歴の影響が認められずSと同様の傾向を裏付けている。またS～ q_u , E_{50} の関係と先の図-3, 4と置くなら、(I)は50%シリーズ線、(II)および(III)は25%シリーズ線附近に位置し、共に最大乾燥に依存することがわかる。

4.まとめ 今回は限られた繰返し回数および乾燥条件のもとで結果を論じており、現場への適用については今後詳しく検討すべきであるが、半径の強度を決定する一手段としては特に、内部的応力の開放に密接な関係を持つと考えらるべき最大乾燥の予想が重要となる。今後の研究方針としては屋外に放置した場合など、さらに複雑な乾燥履歴を対象に実験を行う予定である。

おわりに、本研究に対し協力を得た本学卒業生の諸君に感謝の意を表す。

参考文献 ①宮北前川:「乾燥履歴と条件下における地盤試験の強度特性(第2報)」昭和57年度土木学会中部支部、1983.

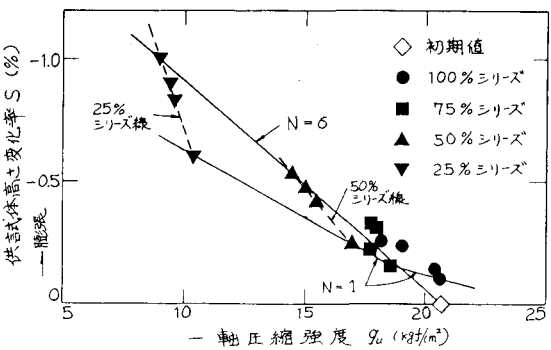


図-3 S～ q_u （一定乾燥）

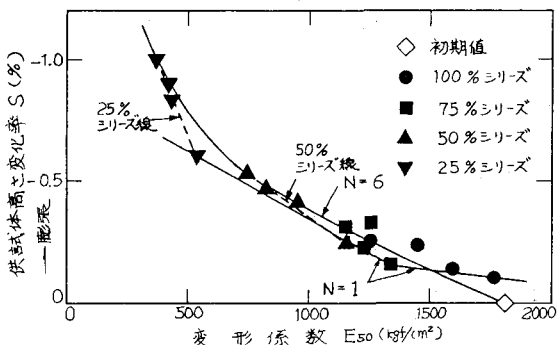


図-4 S～ E_{50} （一定乾燥）

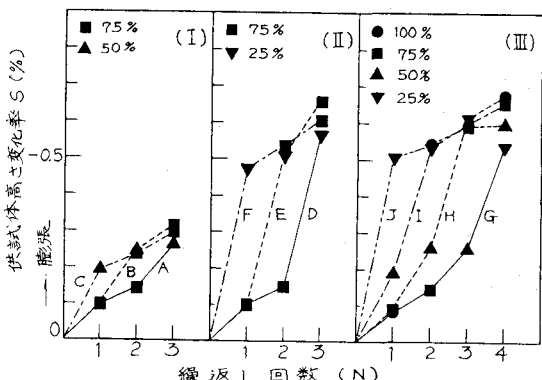


図-5 N～S（乾燥履歴）

表-3 軸圧縮試験結果(乾燥履歴)

	q_u (kgf/cm²)	E_{50} (kgf/cm²)
初期値	21.77	1759
(I)	A 16.60	1075
	B 16.48	1050
	C 16.88	1093
(II)	D 10.45	592
	E 10.85	575
	F 11.75	628
(III)	G 10.97	607
	H 10.36	567
	I 11.03	606
	J 11.01	561